

九州大学 工学部 正員 平野 宗夫  
 ノルマニス 羽田野 裕義  
 建設者 ノルマニス 古賀 雄三

### 1. まえがき

近年、貯水池に関して濁水長期化という事が多方面で問題化してきた。濁水をもたらす洪水は受熱期に多発するが、この時期は貯水池内の取水口下方に2次躍層が発達することが多く、濁水の長期放流と躍層付近の濁度の挙動とは特に密接な関係にあることが報告されている。したがって、ここでは躍層の低下が濁水長期化に与える影響を考える1Stepとして躍層の低下過程および中間層密度の時間的変化を評価するために簡単なモデル化を行ない、実験結果と比較した。

### 2. 密度躍層の低下および中間層密度の変化過程

図-1に示すモデルを考える。すなわち中間層先端付近において表層水がまき上げられ、ダム壁近傍において表層水が中間層内に侵入するものと考える。また、密度の流れ方向の変化は考慮せず、時間的変化だけを考え水位は一定に保たれるものとする。

断面IとIIの内の領域をControl Volumeとし、体積保存則および質量保存則を考えると、

$$\frac{d}{dt}(V_f + V_s + V_b) = 0 \quad (1) \quad \rho_b \frac{dV_b}{dt} + \rho_s \frac{dV_s}{dt} + V_s \frac{d\rho_s}{dt} + \rho_f \frac{dV_f}{dt} = \rho_i g_i - \rho_o g_o. \quad (2)$$

上式より  $dV_b/dt$  を消去すると、

$$\nu_s \frac{d\rho_s}{dt} = (\rho_b - \rho_s) \frac{dV_s}{dt} + (\rho_b - \rho_f) \frac{dV_f}{dt} + \rho_i g_i - \rho_o g_o. \quad (3)$$

一方、中間層上流端からのまき上げ量  $\dot{q}_b$  がどのような量に關係しているかが問題となるが、 $-\frac{dV_b}{dt}/L\bar{U}_f$  と  $F_b^2 = g_i^2/\varepsilon g_i h_i^3$  の実測値をプロットしたのが図-2である。但し、 $\varepsilon = (\rho_b - \rho_s)/\rho_s$ 。図より  $-\frac{dV_b}{dt}/L\bar{U}_f$  と  $F_b^2$  との間に直線的な関係がある。また  $-\frac{dV_b}{dt} = \dot{q}_b$  であり、定数  $C_2$  を用いて次式となる。

$$\frac{\dot{q}_b}{L\bar{U}_f} = C_2 F_b^2 \quad (4)$$

また、上記を考慮してダム壁近くのまきこみ量を  $\dot{q}_m$  とし、断面IとIIの内の表水層領域を Control Volumeとして体積保存則、質量保存則を考えれば次式のようになる。

$$\frac{dV_f}{dt} = \nu_e L - \dot{q}_m + \dot{q}_b \quad (5) \quad \rho_f \frac{dV_f}{dt} = (\rho_i g_i - \rho_o g_o) + \rho_s \nu_e L - \rho_f \dot{q}_m + \rho_b \dot{q}_b \quad (6)$$

但し、 $\nu_e$  は中間層から表水層への連行速度で、 $C_2$  を定数として  $\nu_e = C_2 \bar{U}_f F_b^2$  ( $\varepsilon = g_i^2/F_b^2 = g_i^2/\varepsilon g_i h_i^3$ ,  $\rho_s = (\rho_b - \rho_s)/\rho_s$ ) で与える。式(3), (5) および (6) より

$$\nu_s \frac{d\rho_s}{dt} = (\rho_b - \rho_s) \frac{dV_s}{dt} + (\rho_b - \rho_s) \nu_e L + (\rho_f - \rho_b) \dot{q}_m \quad (7)$$

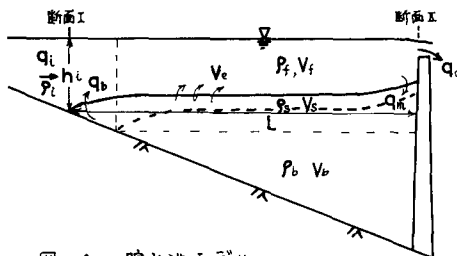


図-1 貯水池モデル

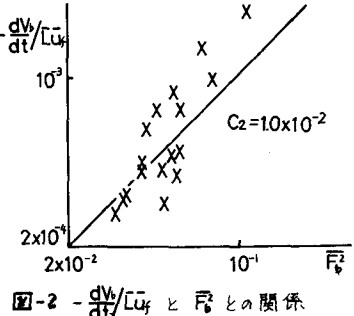


図-2  $-\frac{dV_b}{dt}/L\bar{U}_f$  と  $F_b^2$  の関係

また、断面IとIIの間の中間層領域を Control Volume とすれば体積保存則として式(8)、これと式(7)より式(9)が得られ、密度躍層の低下に対しては式(1)より(10)を得る。

$$\frac{dV_s}{dt} = g_m - \rho_e L \quad (8) \quad V_s \frac{df_s}{dt} = (\rho_f - \rho_s) g_m \quad (9)$$

$$\frac{dh_i}{dt} = \frac{g_o}{L} \quad (10) \quad \text{結果式(8), (9)および(10)を計算することにより躍層の位置} h_i \text{および中間層密度 } g_m \text{ の時間的変化を求めることができるが、その際、まきこみ量 } g_m \text{ の算定が必要となる。}$$

### 3. $g_m$ の算定

$g_m$  を評価するため、ダム壁近くを取水域とみなし、図-3に示すようにモデル化する。断面BDFをダム壁の直上流にとり、 $\rho_f - g_m = g_o$  とし、現象が準定常であると考える。領域ABCDおよびCDFEについて運動量の定理を、またAB上でベルヌイの定理を適用し、アシネスク近似および  $\rho_f - g_m = g_o$  の関係を用いて整理すれば次のようになる。

$$\frac{(\rho_o + g_m)^2}{h_f} = \frac{\rho_2}{\rho_1} \frac{\rho_o^2}{h_f - h_m - h_e} - \frac{1}{2\rho_1} g h_e (2h_f - h_e) + \frac{1}{2\rho_1} \varepsilon g h_m^2 \quad (11)$$

$$\frac{g_m^2}{h_s} = \frac{1}{\rho_3} (2gh_m - gh_e) h_s \quad (12)$$

$$h_e = \frac{1}{2g} \left\{ \alpha_2 \left( \frac{\rho_f - g_m}{h_f - h_m - h_e} \right)^2 - \alpha_1 \left( \frac{\rho_f}{h_f} \right)^2 \right\} \quad (13)$$

ここに、 $\alpha_1$  および  $\alpha_2$  は各々 A および B におけるエネルギー補正係数、 $\rho_1$  および  $\rho_2$  は各々 AC, BD および CE 上における運動量補正係数である。

### 4. 計算結果

式(8), (9), (10), (11), (12) および (13) を用いて  $h_i$  および  $\rho_s$  の時間的变化を求めるが、中間層形成時ににおける  $V_s$ ,  $\rho_s$ ,  $h_i$ ,  $h_s$ ,  $h_f$  および  $L$  を実験から初期値として与え、式(11), (12) および (13) をくり返し計算することにより  $g_m$  を算定し、この  $g_m$  を用いて 1 Step 進んだ  $V_s$ ,  $\rho_s$  および  $h_i$  を式(8), (9) および (10) により求めた。

また  $C_1$  は図-2 より  $1.0 \times 10^{-2}$  とし  $C_2$  は岩崎らの研究を参考にして  $C_2 = 1.5 \times 10^{-3}$  とする。 $\alpha$ ,  $\beta$  に対しては実験などから  $\alpha_2 = 1.3$ ,  $\beta_2 = 1.17$  としその他は 1.0 とした。

以上に従った計算結果が実験値とともに図-4, 5 および 6 に示されている。それによると躍層位置は時間とともに低下するが、時間の経過とともに低下は飽和傾向を示す。また中間層の密度は初め急激に減少し、その後漸減する。いずれにおいても計算値と実測値とは比較的よい一致を示しており、このようなモデルでも密度躍層の低下をよく評価しうることを示している。

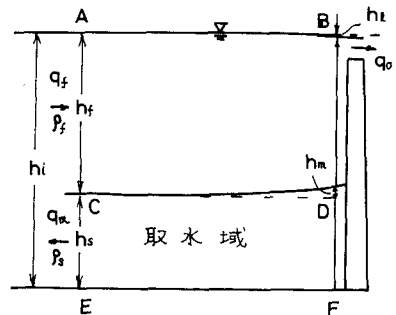


図-3 取水域モデル

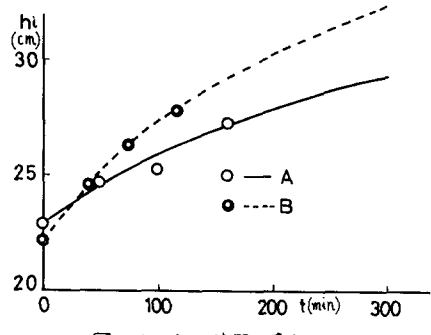


図-4  $h_i$  の時間的変化

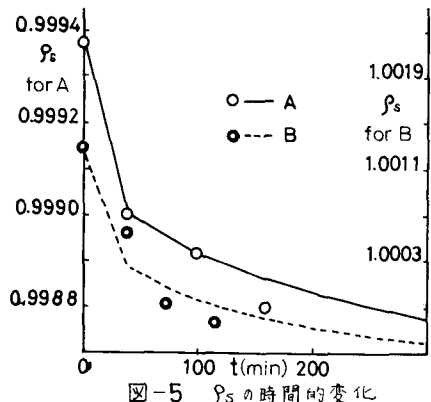


図-5  $\rho_s$  の時間的変化

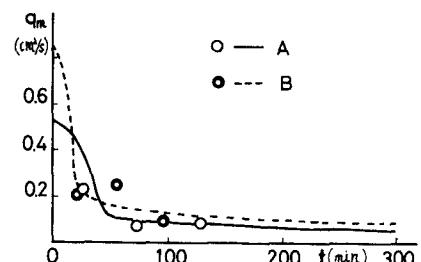


図-6  $q_m$  の時間的変化